



LYCÉE LA MARTINIÈRE MONPLAISIR LYON
SCIENCES INDUSTRIELLES POUR L'INGÉNIEUR
CLASSE PRÉPARATOIRE M.P.S.I.
ANNÉE 2022 - 2023

C3 : MODÉLISATION CINÉMATIQUE DES SYSTÈMES COMPOSÉS DE CHAINES DE SOLIDES

TD 8 - Cinématique du solide (C3-4)

29 Novembre 2022

Compétences

- **Analyser**
 - Décrire le besoin et les exigences.
- **Modéliser**
 - Déterminer les caractéristiques d'un solide ou d'un ensemble de solides indéformables.
 - Modéliser la cinématique d'un ensemble de solides.
 - Vérifier la cohérence du modèle choisi en confrontant les résultats analytiques et/ou numériques aux résultats expérimentaux.

Exercice 1 : Mécanisme d'ouverture de porte en accordéon

Source : Emilien DURIF

1 Présentation et paramétrage

L'étude porte sur le dimensionnement d'un système de porte "accordéon" motorisée utilisé dans un bus. Le cahier des charges est résumé sur le diagramme d'exigence ci-dessous :

La figure 2 ci-dessous représente une porte "accordéon" motorisée.

- Le battant **1**
 - est articulé par rapport à la paroi du bus **0** en A ;
 - son repère associé est : $R_1 = (A, \vec{x}_1, \vec{y}_1, \vec{z}_{0,1})$;
 - son paramètre de mouvement est $\theta = (\vec{x}_0, \vec{x}_1) = (\vec{y}_0, \vec{y}_1)$;
 - $\vec{BA} = a \cdot \vec{y}_1$
- Le battant **2**
 - est articulé par rapport à la chaîne **3** en C et par rapport au battant **1** en B ;
 - son repère associé est : $R_2 = (A, \vec{x}_2, \vec{y}_2, \vec{z}_{0,2})$;
 - son paramètre de mouvement est $\beta = (\vec{x}_0, \vec{x}_2) = (\vec{y}_0, \vec{y}_2)$;
 - $\vec{BC} = a \cdot \vec{y}_2$.
- La chaîne **3** qui est mise en mouvement par un moto-réducteur **4**. Le maillon C se déplace à vitesse notée $v(t)$.
- On considère la phase de fermeture de la porte, (à l'instant initial les points A et C sont confondus).

Q 1 : Représenter les figures planes de projection permettant de paramétrer le problème

Q 2 : Représenter sur la figure et la configuration ci-dessus les différents repères et les paramètres angulaires associés.

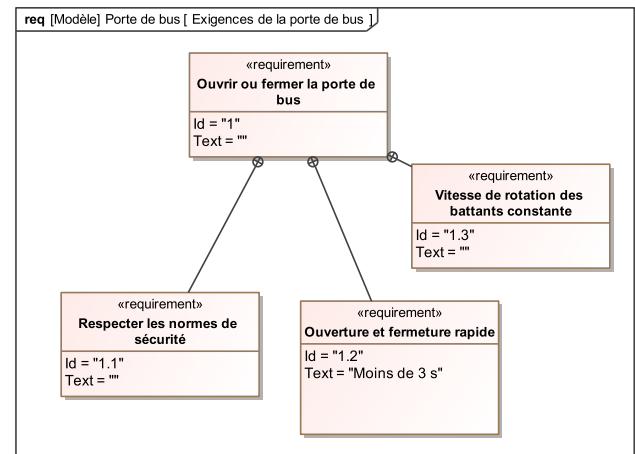


FIGURE 1 – Présentation de la problématique de l'étude.

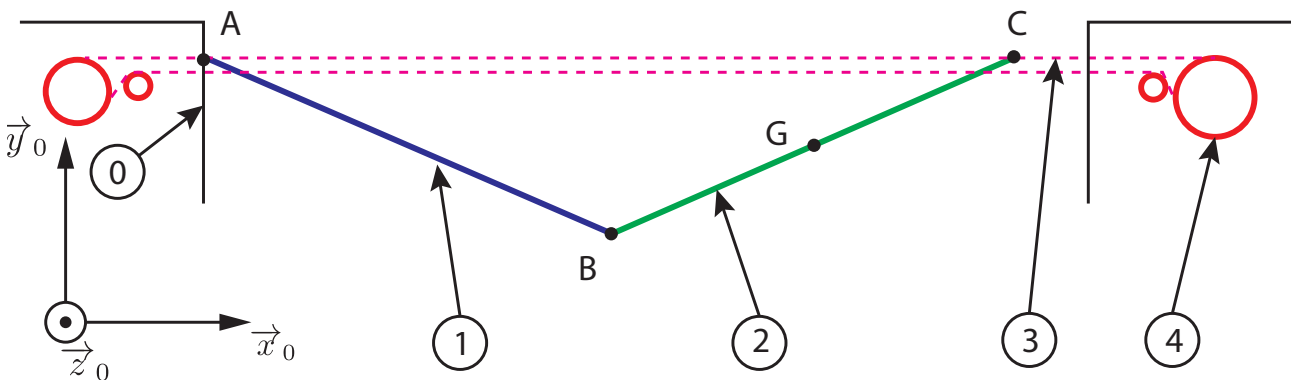


FIGURE 2 – Système d'ouverture de porte en accordéon

2 Résolution : détermination de la relation entrée-sortie du problème.

Q 3 : Quelle est la nature du mouvement du maillon de chaine 3 par rapport à la paroi du bus 0?

Q 4 : Caractériser ce mouvement par son torseur cinématique en fonction de $v : \left\{ \mathcal{V}_{(3/0)} \right\}$ au point C puis au point B .

Q 5 : Quelle est la nature du mouvement du battant 1 par rapport à la paroi du bus ?

Q 6 : Donner l'expression du torseur cinématique $\left\{ \mathcal{V}_{(1/0)} \right\}$ au point A .

Q 7 : Dédurre le torseur cinématique $\left\{ \mathcal{V}_{(1/0)} \right\}$ au point B .

Q 8 : Calculer $\vec{V}(B \in 1/0)$ par la mécanique du point (dérivation vectorielle).

Q 9 : Déterminer le torseur cinématique $\left\{ \mathcal{V}_{(2/1)} \right\}$ au point B en fonction de $\dot{\beta}$ et $\dot{\theta}$.

Q 10 : Déterminer le torseur cinématique $\left\{ \mathcal{V}_{(2/3)} \right\}$ au point C puis au point B en fonction de a et $\dot{\beta}$.

Q 11 : Traduire la relation de Chasles au Point B : $\overrightarrow{\mathcal{V}}_{(1/0)} = \overrightarrow{\mathcal{V}}_{(1/2)} + \overrightarrow{\mathcal{V}}_{(2/3)} + \overrightarrow{\mathcal{V}}_{(3/0)}.$

Q 12 : En projetant la relation en vitesse issue de la question précédente en déduire deux équations scalaires.

Q 13 : A l'aide des conditions initiales lorsque la porte est ouverte ($\beta = \theta = 0$) et en intégrant par rapport au temps une des deux équations précédentes, en déduire une relation entre β et $\theta \forall t$ et l'expression de $v(t)$ en fonc-

tion de θ .

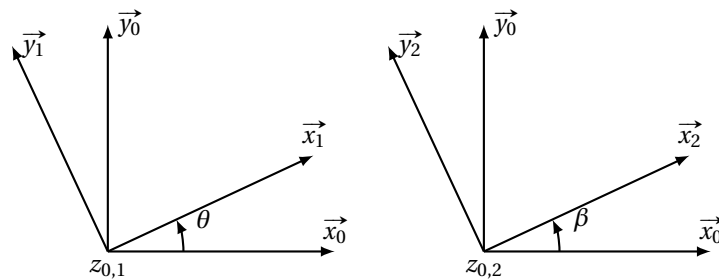
Q 14 : Déterminer numériquement l'expression de $v(t)$ pour respecter le cahier des charges (On prendra $a = 1m$).

Corrigé

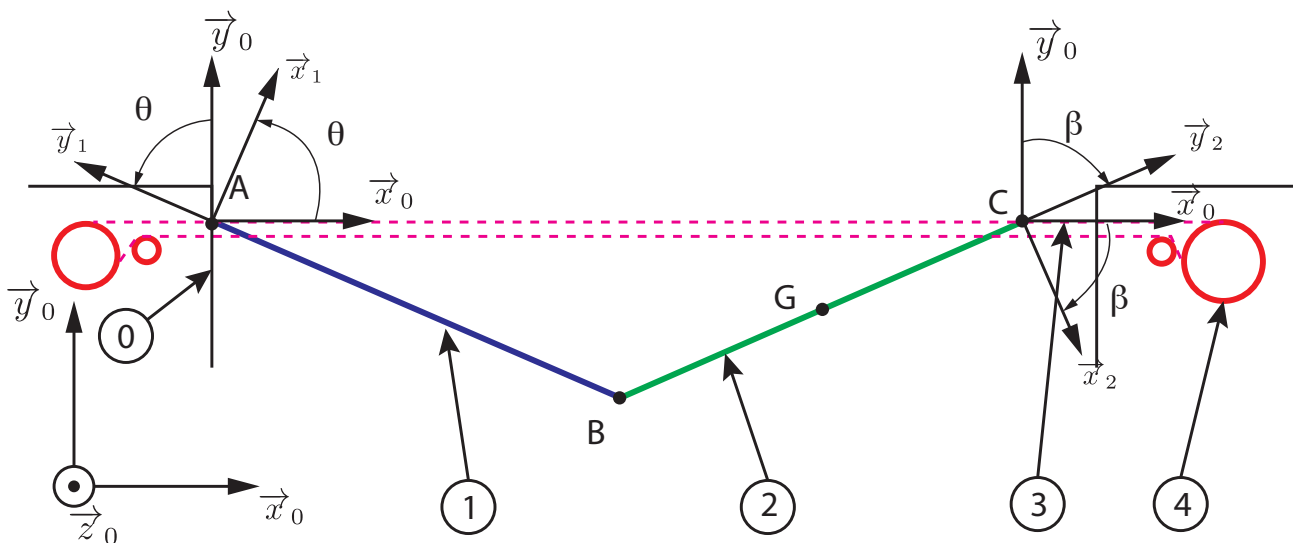
Exercice 1 : Mécanisme d'ouverture de porte en accordéon

1 Corrigé : mécanisme d'ouverture de porte en accordéon

Q 1 : Représenter les figures planes de projection permettant de paramétrer le problème



Q 2 : Représenter sur la figure et la configuration ci-dessus les différents repères et les paramètres angulaires associés.



Q 3 : Quelle est la nature du mouvement du maillon de chaîne 3 par rapport à la paroi du bus 0?

L'orientation de la chaîne 3 sur sa partie horizontale par rapport à 0 reste toujours la même, donc $\vec{\Omega}_{(3/0)} = \vec{0}$ ainsi 3/0 est un mouvement de translation. De plus ici la translation est rectiligne dirigée par \vec{x}_0 .

Q 4 : Caractériser ce mouvement par son torseur cinématique en fonction de $v : \{v_{(3/0)}\}$ au point C puis au point B.

$$\{\mathcal{V}_{(3/0)}\} = \left\{ \begin{array}{l} \vec{\Omega}_{(3/0)} = \vec{0} \\ \vec{V}(C \in 3/0) = v \vec{x}_0 \end{array} \right\} = \left\{ \begin{array}{l} \vec{0} \\ v(t) \vec{x}_0 \end{array} \right\}_B$$

Q 5 : Quelle est la nature du mouvement du battant 1 par rapport à la paroi du bus 0?

Le battant 1 est articulé en A, son mouvement par rapport à 0 est un mouvement de rotation d'axe $(A, \vec{z}_{0,1})$

Q 6 : Donner l'expression du torseur cinématique $\{\mathcal{V}_{(1/0)}\}$ au point A.

$$\{\mathcal{V}_{(1/0)}\} = \left\{ \begin{array}{l} \vec{\Omega}_{(1/0)} = \dot{\theta} \vec{z}_{0,1} \\ \vec{V}(A \in 1/0) = \vec{0} \end{array} \right\}_A$$

Q 7 : Déduire le torseur cinématique $\{\mathcal{V}_{(1/0)}\}$ au point B .

$$\{\mathcal{V}_{(1/0)}\}_B = \left\{ \begin{array}{l} \vec{V}(B \in 1/0) = \vec{V}(A \in 1/0) + \vec{BA} \wedge \overrightarrow{\Omega_{(1/0)}} = a \vec{y}_1 \wedge \theta \vec{z}_{0,1} \\ \dot{\theta} \vec{z}_0 \\ a \dot{\theta} \vec{x}_1 \end{array} \right\}_B = \left\{ \begin{array}{l} \dot{\theta} \vec{z}_0 \\ a \dot{\theta} \vec{x}_1 \end{array} \right\}_B$$

Q 8 : Calculer $\vec{V}(B \in 1/0)$ par la mécanique du point (dérivation vectorielle).

$$\vec{V}(B \in 1/0) = \vec{V}(B/0)$$

Car $B \in 1$.

Or,

$$\vec{V}(B/0) = \frac{d\vec{AB}}{dt}_{R_0} = \frac{d - a \vec{y}_1}{dt}_{R_0} = -a \left[\frac{d \vec{y}_1}{dt}_{R_1} + \overrightarrow{\Omega_{(1/0)}} \wedge \vec{y}_1 \right]$$

$$\vec{V}(B/0) = -a [\dot{\theta} \vec{z}_{0,1} \wedge \vec{y}_1] = a \dot{\theta} \vec{x}_1$$

Q 9 : Déterminer le torseur cinématique $\{\mathcal{V}_{(2/1)}\}$ au point B en fonction de $\dot{\beta}$ et $\dot{\theta}$.

$$\{\mathcal{V}_{(2/1)}\}_B = \left\{ \begin{array}{l} \overrightarrow{\Omega_{(2/1)}} = \overrightarrow{\Omega_{(2/0)}} - \overrightarrow{\Omega_{(1/0)}} \\ \vec{V}(B \in 2/1) = \vec{0} \end{array} \right\}_B = \left\{ \begin{array}{l} (\dot{\beta} - \dot{\theta}) \cdot \vec{z}_0 \\ 0 \end{array} \right\}_B$$

Q 10 : Déterminer le torseur cinématique $\{\mathcal{V}_{(2/3)}\}$ au point C puis au point B en fonction de a et $\dot{\beta}$.

Le mouvement 2/3 est un mouvement de rotation de d'axe (C, \vec{z}_0) donc,

$$\{\mathcal{V}_{(2/3)}\}_C = \left\{ \begin{array}{l} \overrightarrow{\Omega_{(2/3)}} = \overrightarrow{\Omega_{(2/0)}} - \overrightarrow{\Omega_{(3/0)}} \\ \vec{V}(C \in 2/3) = \vec{0} \end{array} \right\}_C = \left\{ \begin{array}{l} \dot{\beta} \cdot \vec{z}_0 \\ 0 \end{array} \right\}_C$$

En utilisant la formule de Varignon on en déduit $\{\mathcal{V}_{(2/3)}\}$ au point B :

$$\{\mathcal{V}_{(2/3)}\}_B = \left\{ \begin{array}{l} \dot{\beta} \cdot \vec{z}_0 \\ \vec{BC} \wedge \dot{\beta} \vec{z}_0 = a \cdot \vec{y}_2 \wedge \dot{\beta} \vec{z}_{0,2} \end{array} \right\}_B = \left\{ \begin{array}{l} \dot{\beta} \cdot \vec{z}_0 \\ a \cdot \dot{\beta} \cdot \vec{x}_2 \end{array} \right\}_B$$

Q 11 : Traduire la relation de Chasles au Point B : $\{\mathcal{V}_{(1/0)}\} = \{\mathcal{V}_{(1/2)}\} + \{\mathcal{V}_{(2/3)}\} + \{\mathcal{V}_{(3/0)}\}$.

$$\{\mathcal{V}_{(1/0)}\} = \{\mathcal{V}_{(1/2)}\} + \{\mathcal{V}_{(2/3)}\} + \{\mathcal{V}_{(3/0)}\}$$

\Leftrightarrow

$$\left\{ \begin{array}{l} \dot{\theta} \vec{z}_0 \\ a \dot{\theta} \vec{x}_1 \end{array} \right\}_B = \left\{ \begin{array}{l} -(\dot{\beta} - \dot{\theta}) \cdot \vec{z}_0 \\ 0 \end{array} \right\}_B + \left\{ \begin{array}{l} \dot{\beta} \cdot \vec{z}_0 \\ a \cdot \dot{\beta} \cdot \vec{x}_2 \end{array} \right\}_B + \left\{ \begin{array}{l} \vec{0} \\ v(t) \vec{x}_0 \end{array} \right\}_B$$

Q 12 : En projetant la relation en vitesse issue de la question précédente en déduire deux équation scalaire.

$$\left\{ \begin{array}{l} a(\dot{\theta} \cos \theta - \dot{\beta} \cos \beta) = v(t) \\ a(\dot{\theta} \sin \theta - \dot{\beta} \sin \beta) = 0 \end{array} \right.$$

Q 13 : A l'aide des conditions initiales lorsque la porte est ouverte ($\beta = \theta = 0$) et en intégrant par rapport au temps une des deux équations précédentes, en déduire une relation entre β et $\theta \forall t$ et l'expression de $v(t)$ en fonction de θ .

On primitivant la deuxième équation en fonction du temps, on introduit une constante λ :

$$\cos\theta - \cos\beta = \lambda$$

Or dans les conditions initiales, $\beta = \theta = 0 \rightarrow \cos\theta - \cos\beta = 0$

Ainsi $\lambda = 0$ et

$$\theta = \pm\beta$$

On vérifie successivement les deux hypothèses :

- $\theta = \beta$:
Dans la première équation $v(t) = 0 \forall t$ ce qui est absurde. Donc la deuxième hypothèse est la bonne
- $\theta = -\beta$:

$$v(t) = 2 \cdot a \cdot \dot{\theta} \cos\theta \text{ et } \theta = -\beta$$

Q 14 : Déterminer numériquement l'expression de $v(t)$ pour respecter le cahier des charges (On prendra $a = 1m$).

Il faut $\dot{\theta} = cte$ donc $\theta = \omega \cdot t$ avec ω une constante.

La distance d'ouverture de la porte noté $x_c(t)$ au cours du temps peut s'exprimer :

$$x_c(t) = \int_{t=0}^t v(t) \cdot dt = 2 \cdot a [\sin\theta]_{t=0}^t = 2 \cdot a \cdot \sin(\omega \cdot t)$$

L'ouverture correspond à $x_c = 2 \cdot a$ et donc $\sin(\omega \cdot t) = 1$, d'où,

$$t = \frac{\pi}{2\omega}$$

On veut $t = 3s$, ainsi, $\omega = \frac{\pi}{6}$.

On trouve donc :

$$v(t) = \frac{\pi}{3} \sin\left(\frac{\pi}{6} \cdot t\right)$$